

СХЕМЫ ЧИСЛЕННОГО РЕШЕНИЯ ПРЯМОЙ И ОБРАТНОЙ ЗАДАЧИ ШТУРМА-ЛИУВИЛЛЯ, ЗАВИСЯЩЕЙ ОТ ПАРАМЕТРОВ

Во Чонг Тхак

*Лаборатория Информационных Технологий
Объединенный институт ядерных исследований*

Дубна, 22 - 27 августа 2012 года

Международная молодёжная конференция-школа “**MPAMSC2012**”

Содержание доклада

1. Введение
2. Решение задачи Штурма-Лиувилля
3. Решение обратной задачи дискретного спектра для радиального уравнения Шредингера с потенциалом, зависящим от параметров
4. Численные результаты
 - 1) Уточнение среднеквадратичного радиуса ядра ${}^6\text{He}$
 - 2) Модель градиентного оптического волновода с эквидистантным спектром волноводных мод
5. Заключение
6. Список литературы

1. Введение

- **Задача Штурма-Лиувилля (Ш-Л)** на конечном и на бесконечном интервалах часто возникает при изучении математических моделей колебательных процессов, устойчивости систем, а также в квантовой механике.
- **Для исследуемой модели может возникнуть обратная задача**, в которой по заданным значениям характеристик системы требуется восстановить в параметрическом семействе коэффициентов оператора Ш-Л его конкретный вид, с помощью которого можно наилучшим образом воспроизвести эти значения.

2. Решение задачи Штурма-Лиувилля

- Разработан пакет программ SLIPH4M [1] в системе MAPLE для решения разностной задачи Ш-Л [2] с точностью аппроксимации $O(h^4)$.
- Для решения задачи используется **непрерывный аналог метода Ньютона (НАМН)** [3].

Задача Ш-Л представляется в виде функционального уравнения:

$$\varphi(z)=0, z=(\lambda, y), \varphi=\{\varphi^{(j)}\}, j=1,2,3,4 \quad (1)$$

для линейного дифференциального уравнения второго порядка

$$\varphi^{(1)}(\lambda, y) \equiv y''(x) + 2p(x)y'(x) + (q(x) - \lambda r(x))y(x) = 0, \quad a < x < b, \quad (2)$$

краевых условий

$$\varphi^{(2)}(\lambda, y) \equiv d_1(\lambda, a)y'(a) + f_1(\lambda, a)y(a) = 0, \quad (3)$$

$$\varphi^{(3)}(\lambda, y) \equiv d_2(\lambda, b)y'(b) + f_2(\lambda, b)y(b) = 0, \quad (4)$$

и условия нормировки

$$\varphi^{(4)}(\lambda, y) \equiv \int_a^b y^2(x)dx + c^2 \int_b^\infty \psi^2(\lambda, x)dx - 1 = 0. \quad (5)$$

Если задача рассматривается на конечном отрезке $[a, b]$, следует положить $c=0$.

SLIPH4M можно использовать для решения радиального уравнения Шредингера.

3. Решение обратной задачи дискретного спектра для радиального уравнения Шредингера с потенциалом, зависящим от параметров

- **Комплекс программ PIPES [5]** предназначен для минимизации по параметрам $\bar{p} = (p_1, p_2, \dots, p_n)$

функционала специального вида

$$\Phi(\bar{p}) = \sum_{j=1}^m [f_j - \Phi_j(\bar{\lambda}(\bar{p}), \bar{y}(\bar{p}, x))]^2 \quad (6)$$

Здесь f_j - экспериментальные (или предлагаемые для исследования) значения характеристик моделируемой системы; функционалы $\Phi_j(\bar{\lambda}(\bar{p}), \bar{y}(\bar{p}, x))$ соответствуют теоретическим значениям этих характеристик.

- **Процедура покоординатного спуска CDMIN** реализует последовательный перебор параметров в области их изменения

$$\Omega = \{a_k \leq p_k \leq b_k, k = 1, 2, \dots, n\} \quad (7)$$

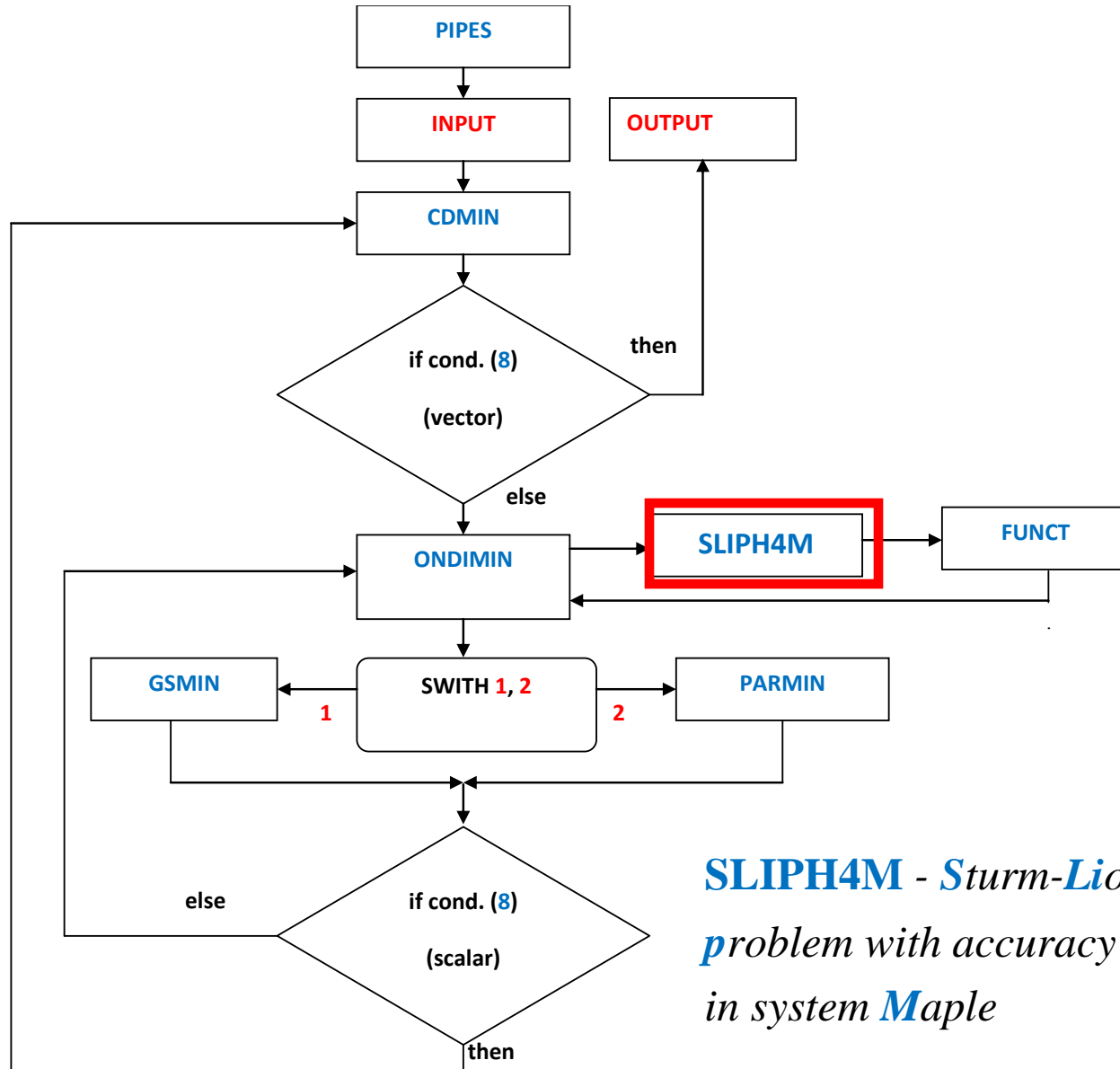
Одномерная минимизация функционала выполняется до выполнения условий

$$|\Phi(\bar{p}_i) - \Phi(\bar{p}_{i-1})| \leq \varepsilon_{\Phi} \quad \text{и} \quad \|\bar{p}_i - \bar{p}_{i-1}\| \leq \varepsilon \quad (8)$$

где i - номер повторения цикла спусков, ε_{Φ} и ε ($0 < \varepsilon_{\Phi} \leq \varepsilon$) - заданные малые числа.

Структура комплекса программы PIPES

(*Parametric inverse problem for the equation of Schrödinger*)



SLIPH4M - *S*turm-*L*iouville
*p*roblem with accuracy $O(h^4)$
in system *M*aple

Рисунок 1.

- Программа одномерной минимизации **ONDIMIN**.
- Процедура **GSMIN** использует известный метод золотого сечения [4].
- Процедура **PARMIN** являющаяся модификацией метода парабол [4].
- Программа **SLIPN4M [1]** по заданным значениям параметров \bar{p} вычисляет ту часть множества (7) собственных значений и соответствующих им собственных функций задачи Ш-Л (1)-(4), которая необходима для нахождения значения функционала (6).
- Процедура **FUNCT** реализует вычисление значения функционала (6).

4. ЧИСЛЕННЫЕ РЕЗУЛЬТАТЫ

1) Уточнение среднеквадратичного радиуса ядра ${}^6\text{He}$ [5]

- Здесь, мы рассмотрим потенциал Вудса-Саксона

$$U(x) = U_0 \left(1 + \exp\left(\frac{x-R}{a}\right)\right)^{-1}, \quad 0 \leq x < \infty \quad (9)$$

где U_0, R, a - параметры.

В задачи Ш-Л (1)-(4). $C^*U(x) = q(x), p(x) = 0, r(x) = 1, C = 0.06380480686$ - константа, которая выражается через приведенную массу двух фрагментов.

- Среднеквадратичный радиус ядра ${}^6\text{He}$ вычисляется по формуле

$$R_{rms} = \left(\int_0^\infty y_0(x)^2 x^2 dx\right)^{1/2} \quad (10)$$

- В работе [5] выбраны значения параметров:

$$U_0 = 28,3, R = 1,45, a = 0,3 \cdot$$

- Для $h\alpha$ - модели получены $\lambda = 2,19375$ и $R_{rms} = 2,62$. Там же отмечено, что ранее другими авторами было получено значение $R_{rms} = 2,586$ в рамках LSSM модели (**L**arge-**S**cale **S**hell **M**odel) ядра.

- **Для решения задачи уточнения составим функционал:**

$$\Phi(\bar{p}) = (\lambda^* - \lambda(\bar{p}))^2 + (R_{rms}^* - R_{rms}(\bar{p}))^2 \quad (11)$$

где $\bar{p} = (U_0, R, a)$ - вектор параметров потенциала (9), λ^*, R_{rms}^* -

проверяемые значения физических величин, $\lambda(\bar{p})$ - вычисляемое для

заданного вектора параметров \bar{p} **при помощи программы SLIPN4M [1]**

решение задачи для уравнения Шредингера $\{\lambda(\bar{p}), y(\bar{p}, x)\}$, а также

соответствующее ему значение $R_{rms}(\bar{p})$ (10).

- **Область изменения параметров (7) выбрана следующим образом:**

$$\Omega = \{27,5 \leq U_0 \leq 28,5; 1,40 \leq R \leq 1,60; 0,20 \leq a \leq 0,40\} \quad (12)$$

- При минимизации функционала (11) задаем два варианта проверяемых значений:

a) $\lambda^* = 2,19375$; $R_{rms}^* = 2,62$

b) $\lambda^* = 2,19375$; $R_{rms}^* = 2,586$

- Значение λ^* считается правильным, поскольку хорошо воспроизводит экспериментальное значение энергии развала ядра ${}^6\text{He}$.

- Результаты вычислений:** a) $\lambda = 2,1937$; $R_{rms} = 2,6202$

b) $\lambda = 2,1937$; $R_{rms} = 2,5860$

- Таблица 1** демонстрирует сходимость процесса минимизации функционала (11), **проверка для b)**

i	U_0	R	a	λ	R_{rms}	$\Phi(p_i)$
0	28,3000	1,4537	0,3000	2,2198	2,6199	0,001828
1	28,2704	1,4537	0,3000	2,2097	2,6241	0,001710
	28,2704	1,4537	0,3000	2,2098	2,6241	0,001710
	28,2704	1,4537	0,2700	2,1879	2,6078	0,000510
2	28,2698	1,4537	0,2700	2,1878	2,6079	5,105E-4
	28,2698	1,4549	0,2700	2,2003	2,6030	3,327E-4
	28,2698	1,4549	0,2450	2,1923	2,5863	2,104E-4
3	28,2698	1,4549	0,2450	2,1922	2,5863	2,104E-4
	28,2698	1,4550	0,2450	2,1937	2,5857	8,139E-5
	28,2698	1,4550	0,2438	2,1937	2,5860	2,437E-9

- Замечание!** Сравнивая результаты а) и б), можно сделать следующий вывод. Значение $R_{rms} = 2,586$ вычисленное в рамках LSSM модели, является более точным, чем значение $R_{rms} = 2,62$ полученное для $h\alpha$ модели, поскольку $\min \Phi(p_i) = 3.3 * E - 8$

2) Модель градиентного оптического волновода [6] с эквидистантным спектром волноводных мод

- Уравнение, определяющее спектр для компоненты E_y волноводной моды, в безразмерных переменных имеет вид

$$\frac{d^2 E_y(x)}{dx^2} + (n^2(x) - \beta^2) E_y(x) = 0 \quad (13)$$

Профиль показателя преломления $n^2(x)$ (потенциал) имеет вид

$$n^2(x) = \begin{cases} n_s^2, & x < 0, \\ n_f^2 (1 - \Delta (1 - \exp(-\frac{x}{d})^\alpha)), & 0 \leq x \leq d, \\ n_c^2, & x > d. \end{cases} \quad (14)$$

где ($\alpha(0 < \alpha < 1)$) - параметр. (При $\alpha = 1$ получаем экспоненциальный профиль [8]).

- Граничные условия

$$\left[\frac{d}{dx} E_y(x) - \sqrt{\beta^2 - n_s^2} E_y(x) \right]_{x=0} = 0 \quad (15)$$

$$\left[\frac{d}{dx} E_y(x) + \sqrt{\beta^2 - n_c^2} E_y(x) \right]_{x=d} = 0 \quad (16)$$

- Таким образом, граничная задача (13)-(16) является задачей Ш-Л на отрезке $0 \leq x \leq d$.
- Значения показателей преломления заданы [7]:

$$n_s^2 = (1.47)^2, \quad n_f^2 = (1.565)^2, \quad n_c^2 = (1.0)^2 \quad (17) \quad 11$$

- Величины d и Δ определяют вектор параметров модели

$$\bar{p} = (d, \Delta), \quad d > 0, \quad \Delta > 0 \quad (18)$$

от которого зависит спектр решений задачи Ш-Л (13)-(16)

$$\{\beta_j^2(\bar{p}), E_y^{(j)}(\bar{p}, x)\}, j=0, 1, 2, \dots, N(\bar{p}) \quad (19)$$

где $\beta_j^2(\bar{p})$ - собственное значение, $E_y^{(j)}(\bar{p}, x)$ - соответствующая собственная функция. Собственные значения упорядочены

$$\beta_0^2(\bar{p}) > \beta_1^2(\bar{p}) > \beta_2^2(\bar{p}) > \dots > \beta_N^2(\bar{p}) > 0$$

- **Введем обозначение**

$$\rho_j(\bar{p}) = \beta_{j-1}^2(\bar{p}) - \beta_j^2(\bar{p}), \quad j=1, 2, \dots, N(\bar{p}) \quad (20)$$

- **Тогда для эквидистантности спектра собственных значений требуется выполнение системы равенств**

$$\rho_1(\bar{p}) = \rho_2(\bar{p}) = \dots = \rho_N(\bar{p}) \quad (21)$$

- **Приближенное решение этой задачи можно свести к минимизации функционала**

$$\Phi(\bar{p}) = \sum_{j=2}^{N(\bar{p})} (\rho_1(\bar{p}) - \rho_j(\bar{p}))^2 \quad (22)$$

- Для вычисления значения функционала (22) при заданном векторе параметров \bar{p} используется программа SLIPN4M [1], решающая разностную задачу Ш-Л (13)-(16).

- **Для определения предварительного значения Δ ,** поставим значение показателя преломления n_f^2 (17), и максимум значения $n_0^2 = n^2(x)$ (14) при $x=d, \alpha=1$, тогда получим $\Delta \approx 0.46$. При $d=3\pi$, $\Delta=0.46$ вычисляются три решения (19) задачи Ш-Л (13)-(16).

Таблица 2. Результаты минимизации функционала $\Phi(\bar{p})$ (22) для профиля показателя преломления (14). $\{d=3\pi, \Delta \in [\Delta_l, \Delta_r]\}$, (i - число итераций поиска $\min \Phi(\Delta)$).

	I, $\alpha=1/4$ $\Delta \in [0.4, 0.7]$	II, $\alpha=1/3$ $\Delta \in [0.4, 0.5]$	III, $\alpha=1/2$ $\Delta \in [0.25, 0.50]$	IV, $\alpha=2/3$ $\Delta \in [0.15, 0.46]$	V, $\alpha=5/6$ $\Delta \in [0.16, 0.46]$
i	3	3	3	6	6
Δ_{\min}	0.625	0.4773	0.2607	0.15777	0.16656
Φ	1.42E-4	9.4E-12	3.9E-11	6.86E-6	7.44E-4
β_0^2	4.65283	3.95201	3.12569	2.76587	2.75393
β_1^2	4.05394	3.46839	2.74424	2.46658	2.44513
β_2^2	3.53314	2.98477	2.36279	2.16991	2.16360
ρ_1	0.50889	0.483617	0.381454	0.29929	0.30880
ρ_2	0.52080	0.483620	0.381448	0.29667	0.28153
D_ρ	0.01191	0.000003	0.000006	0.00262	0.02727

Из таблицы видно, что наилучшие результаты получены при $\alpha=1/3$. **Вычисленное значение** $\Delta_{\min} = 0.4773$ **довольно близко к прогнозируемому значению** $\Delta \approx 0.46$. Точность вычисления характеристик эквидистантности ρ_1 и ρ_2 составляет 5 десятичных знаков после десятичной точки $D_\rho = 3 \cdot 10^{-6}$.

На рисунке 2 представлены **графики 3 собственных функций** $E^{(j)}(j=1,2,3)$ **и**
профиля показателя преломления $n^2(x)$ (14), $0 \leq x \leq 3\pi$ для $\alpha=1/3, \Delta=0.4773$

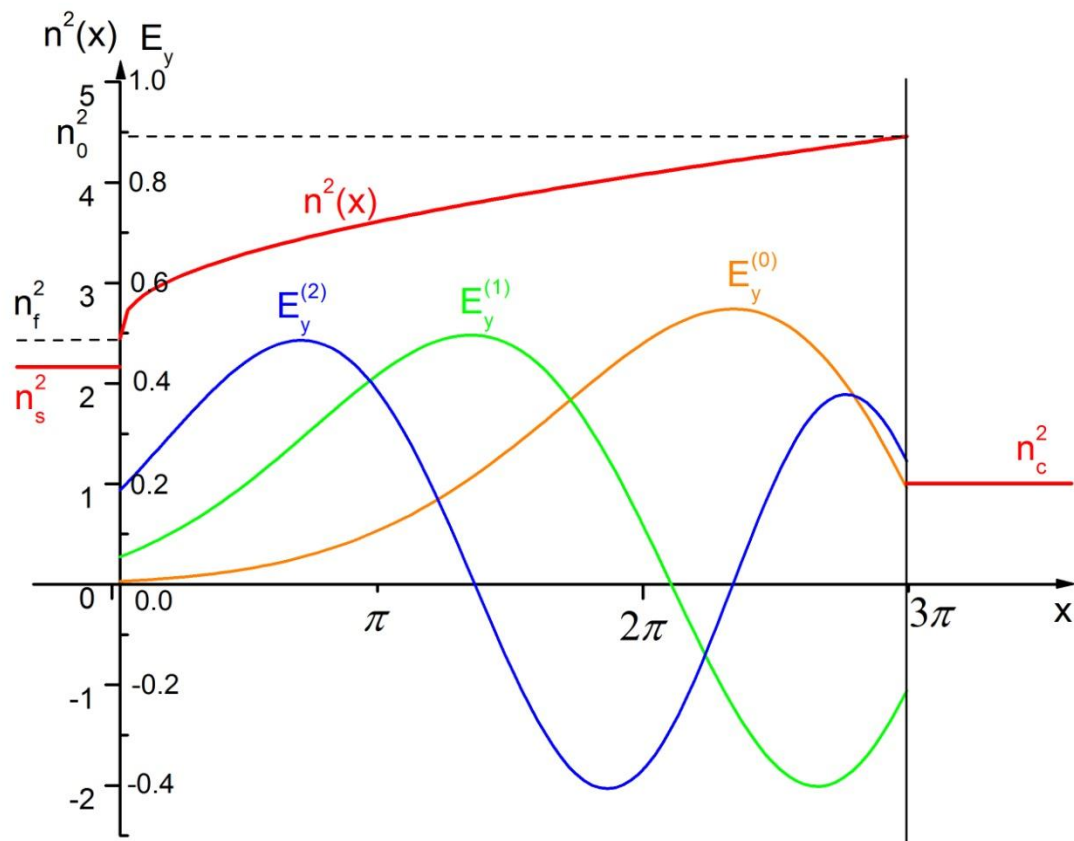


Рис.2. Профиль показателя преломления (14) $\alpha=1/3$ и собственные функции $E_y^{(j)}$
 задачи Ш-Л (13)-(16).

5. Заключение

- Разработанные схемы и комплексы программ успешно применялись к численному анализу моделей молекулярной и ядерной физики [5], а также модели градиентного оптического волновода с эквидистантным спектром волноводных мод [8].
- Благодарю Таисию Петровну Пузынину за помощь и поддержку.
- Работа выполнена при финансовой поддержке грантов РФФИ 10-01-00467-а и 12-01-00396-а.

6. Список литературы

1. **Во Чонг Тхак, Т.П. Пузынина. SLIPH4M - программа для численного решения частичной проблемы Штурма-Лиувилля.** // Программные продукты и системы, 2011, №3, с. 75-80.
<http://www.info.jinr.ru/programs/jinrlib/slip4m/index.html>
2. А.А. Самарский. Теория разностных схем. М.: Наука, 1983.
3. И.В. Пузынин, И.В. Амирханов, Е.В. Земляная, В.Н. Первушин, Т.П. Пузынина, Т.А. Стриж, В.Д. Лахно. Обобщенный **непрерывный аналог метода Ньютона** для численного исследования некоторых квантово-полевых моделей. // Физика элементарных частиц и атомного ядра (ЭЧАЯ), 1999, т.30, вып.1, с. 210-265.
4. Н.Н. Калиткин. Численные методы. М.: Наука, 1978.
5. **Т.П. Пузынина, Во Чонг Тхак. Комплекс программ для решения обратной параметрической задачи уравнения Шредингера.** // Информационные технологии и вычислительные системы, 2012, №2, с. 46-53.
6. Адамс М. Введение в теорию оптических волноводов. – М.: Мир, 1984.
7. Refractive Index Database. — <http://refractiveindex.info/>
8. **Т. П. Пузынина, Во Чонг Тхак. Численное исследование параметров модели градиентного оптического волновода с эквидистантным спектром волноводных мод.** // Вестник РУДН. Серия Математика. Информатика. Физика. № 3. 2012. с. 79–86.

Спасибо за внимание!